

杨文华 编著

液控原理

学术书刊出版社

346987

液 控 原 理

杨文华 编著

学术书刊出版社

D357/14 内 容 提 要

本书是关于液控技术的理论著作，它是作者根据自己多年来从事这项工作的经验，摘要取精，编著而成，论述严密、简洁明了，取材适当，旨意深刻，突出了理论联系实际，而不赘于具体结构的描述。全书共分七章，内容包括控制论基本知识、液压系统基本元件的静态特性、阀控原理、泵控原理和蓄能器控制原理。每章末附有习题。书末附有拉普拉斯变换特性表和拉普拉斯变换对照表。

本书既可作为工科院校有关专业大学生或硕士研究生的教学参考书，也可作为工程师或技术员的理论读物。

液 控 原 理

杨文华 编著

*

学术书刊出版社出版（北京海淀区学院南路86号）
新华书店北京发行所发行 各地新华书店经售
北京燕山印刷厂印刷

*

开本：850×1168毫米 1/32 印张：12 字数：323千字
1990年8月第1版 1990年8月第1次印刷
印数：1—2500册 定价：12.00元
ISBN 7-80045-682-X/TF·1

自序

液压技术已在各方面广泛地应用。液压传动业已成为机械设备的一种重要传动方式，它与传统的机械传动相比，具有结构紧凑、操作灵便、传动平稳和调速容易等优点；但在传动原理和控制方法上，则与机械传动迥异，而有其独立的系统。

本书系根据作者多年的科研手稿和授课讲义，摘要取精，增删节补而写成，以使之适合液控专业的需要。全书共分七章，介绍了控制理论的基础知识，论述了液压系统基本元件的静态特性，讨论了液压系统的阀控原理、泵控原理和蓄能器控制原理。本书侧重于液压传动原理及控制方法的讨论，并结合实际进行理论分析，而不赘于具体结构的描述。每章末皆附有习题，俾使读者加深理解。

液控技术是一门新兴学科，日有发展。限于作者水平，疏漏和错误在所难免，殷望读者批评指正。

杨文华

一九八九年十月

目 录

| | |
|------------------------------------|--------|
| 第一章 液压传动系统的基本元件及其静态特性 | (1) |
| 1.1 液压泵 | (1) |
| 1.2 液压马达 | (8) |
| 1.3 液压缸 | (9) |
| 1.4 管道及油液在管道中的流动 | (13) |
| 1.4.1 管中层流 | (13) |
| 1.4.2 管中紊流 | (15) |
| 1.5 薄壁孔口通流及阀的流量计算 | (17) |
| 1.6 溢流阀 | (19) |
| 1.6.1 直动型溢流阀 | (20) |
| 1.6.2 先导型溢流阀 | (22) |
| 1.6.3 差动型溢流阀 | (23) |
| 1.7 单向阀 | (24) |
| 1.8 节流阀 | (24) |
| 1.8.1 固定式节流阀 | (25) |
| 1.8.2 可调式节流阀 | (25) |
| 1.9 流量控制阀 | (26) |
| 1.9.1 串联补偿式流量阀 | (26) |
| 1.9.2 并联补偿式流量阀 | (29) |
| 1.10 油液的压缩性、弹性系数及有效流量 | (30) |
| 1.11 液压静刚度 | (31) |
| 1.12 油气相混后弹性系数的变化 | (36) |
| 1.13 系统的固有频率 | (39) |
| 1.14 荷载性质及原动机种类 | (41) |
| 习题 | (43) |

| | | |
|---------------------------|-------|---------|
| 第二章 传递函数、系统框图及信号流图 | | (45) |
| 2.1 传递函数 | | (45) |
| 2.1.1 传递函数的概念 | | (45) |
| 2.1.2 传递函数的性质 | | (46) |
| 2.2 液压系统框图 | | (46) |
| 2.2.1 框图的构成方法 | | (46) |
| 2.2.2 框图的简化及根据框图求传递函数 | | (43) |
| 2.3 信号流图 | | (55) |
| 2.3.1 信号流图的构成方法 | | (55) |
| 2.3.2 信号流图的简化及根据信号流图求传递函数 | | (58) |
| 2.4 非线性系统的线性化 | | (61) |
| 习题 | | (70) |
| 第三章 系统的动态分析 | | (77) |
| 3.1 一阶系统及其时域响应 | | (77) |
| 3.1.1 一阶系统 | | (77) |
| 3.1.2 一阶系统的响应 | | (79) |
| 3.2 二阶系统及其时域响应 | | (83) |
| 3.2.1 二阶系统 | | (83) |
| 3.2.2 二阶系统的响应 | | (85) |
| 3.3 高阶系统 | | (94) |
| 3.3.1 零点、极点概念 | | (94) |
| 3.3.2 高阶系统的阶跃响应 | | (95) |
| 3.3.3 高阶系统的低阶近似描述 | | (96) |
| 3.4 误差分析 | | (97) |
| 3.4.1 稳态误差 | | (97) |
| 3.4.2 动态误差 | | (103) |
| 3.5 频率响应特性 | | (106) |
| 3.5.1 频率响应的概念 | | (106) |
| 3.5.2 频率响应函数 | | (106) |
| 3.6 频率响应的图解 | | (109) |
| 3.6.1 极坐标图 | | (110) |

| | |
|--------------------------|-------|
| 3.6.2 对数坐标图 | (110) |
| 3.6.3 幅相图 | (111) |
| 3.7 典型环节的频率特性图 | (112) |
| 3.7.1 传递函数的组成环节 | (112) |
| 3.7.2 典型环节的极坐标图 | (113) |
| 3.7.3 典型环节的对数坐标图 | (116) |
| 3.7.4 开环系统波德图的绘制 | (129) |
| 3.7.5 闭环系统的频率特性 | (133) |
| 3.8 截止频率、频带宽度和剪切率 | (148) |
| 习题 | (149) |
| 第四章 系统的稳定性 | (152) |
| 4.1 零点、极点与稳定性的关系 | (152) |
| 4.1.1 开环特征方程 | (152) |
| 4.1.2 闭环特征方程 | (155) |
| 4.2 相角变化的稳定性判据 | (156) |
| 4.3 代数稳定性判据(劳斯-胡维茨稳定性判据) | (159) |
| 4.4 奈奎斯特稳定性判据 | (165) |
| 4.4.1 开环系统稳定时的奈奎斯特判据 | (166) |
| 4.4.2 普遍情况下的奈奎斯特判据 | (169) |
| 4.4.3 开环特征方程具有零根时的稳定性判定 | (173) |
| 4.5 波德图上的奈奎斯特判据 | (176) |
| 4.6 稳定裕量 | (179) |
| 4.6.1 增益裕量 | (179) |
| 4.6.2 相位裕量 | (180) |
| 4.7 系统的校正 | (182) |
| 4.7.1 串联校正 | (182) |
| 4.7.2 并联校正 | (187) |
| 习题 | (190) |
| 第五章 阀控原理 | (192) |
| 5.1 速度控制 | (192) |
| 5.1.1 节流阀控制速度 | (192) |

| | | |
|--------------------|----------------------|-------|
| 5.1.2 | 调速阀控制速度 | (205) |
| 5.2 | 压力控制 | (217) |
| 5.1.2 | 溢流阀控制压力 | (218) |
| 5.2.2 | 减压阀控制压力 | (226) |
| 5.3 | 滑阀控制 | (228) |
| 5.3.1 | 四通阀控油缸 | (229) |
| 5.3.2 | 三通阀控油缸 | (252) |
| 5.3.3 | 阀控马达 | (260) |
| 5.3.4 | 阀芯液流力及阀芯的稳定性 | (264) |
| 5.4 | 喷嘴挡板阀控制 | (271) |
| 5.4.1 | 单喷嘴挡板阀 | (271) |
| 5.4.2 | 双喷嘴挡板阀 | (275) |
| 5.4.3 | 挡板液流力及挡板的稳定性 | (281) |
| 5.4.4 | 喷嘴挡板阀对滑阀的控制 | (284) |
| 习题 | | (290) |
| 第六章 泵控原理 | | (295) |
| 6.1 | 泵控马达的速度特性 | (295) |
| 6.2 | 恒扭矩荷载时的马达转速 | (299) |
| 6.3 | 恒功率荷载时的马达转速 | (302) |
| 6.4 | 纯惯性荷载时的马达转速 | (307) |
| 6.5 | 惯性荷载及粘滞阻力荷载时的马达转速 | (310) |
| 6.6 | 惯性、粘阻及荷载扭矩共同作用时的马达转速 | (317) |
| 6.7 | 泵控马达的位移及动态刚度 | (319) |
| 6.8 | 变量泵的控制 | (324) |
| 6.8.1 | 恒压变量控制 | (325) |
| 6.8.2 | 恒流变量控制 | (330) |
| 6.8.3 | 功率匹配控制 | (333) |
| 习题 | | (335) |
| 第七章 蓄能器控制原理 | | (337) |
| 7.1 | 蓄能器的静态特性 | (337) |
| 7.1.1 | 系统的平均流量及供油压力 | (337) |

| | |
|-------------------------|-------|
| 7.1.2 蓄能器的容积 | (338) |
| 7.1.3 蓄能器的最大有效能量及最佳容积 | (342) |
| 7.2 蓄能器系统的动态分析 | (349) |
| 7.3 蓄能器的热力分析 | (356) |
| 7.4 蓄能器的稳压作用分析 | (360) |
| 7.4.1 稳压蓄能器的容积 | (360) |
| 7.4.2 稳压蓄能器的动态分析 | (362) |
| 习题 | (369) |
| 附录 | (373) |
| I. 拉普拉斯 (Laplace) 变换特性表 | (373) |
| II. 拉普拉斯变换对照表 | (374) |
| III. 主要参考资料 | (375) |

第一章 液压传动系统的基本元件及其静态特性

根据机器对液压执行元件的动作和性能要求，将有关液压元件进行适当地组合与联接，即构成所需的液压传动系统。通常，完成同样的动作和性能要求，可有很多液压系统来满足。然而，设计时应以最经济的手段来获取最满意的效果为原则。因此，对于一台采用液压传动的机械，液压系统设计的优劣，直接关系到其工作性能、使用寿命和经济效果。而掌握液压元件及系统性能的分析方法，则是正确选用元件和合理设计系统的前提。

液压系统通常由动力元件——泵；控制元件——各种阀；执行元件——液压缸或液压马达，以及将上述诸元件互相联系以体现其作用功能的管道等组成。

1.1 液压泵

液压泵（油泵）是向整个液压系统输送油液，并提供系统为克服外载前所需压力油源的元件。在液压传动系统中所使用的泵均为容积式泵，即驱动轴每转一转泵所排出的油液容积为一恒定值。此容积即称为泵的排量。按照泵的排量能否变化，有定量泵和变量泵之分。前者结构简单，但其排量始终如一，不可调节。后者则装有一套调节油腔容积的机构，故排量可在一定范围内进行调节。必须指出，变量泵的排量虽然可变，但其仍属容积式泵。通常齿轮泵、径向柱塞泵多做成定量泵；轴向柱塞泵、叶片泵则定量及变量两者均有。

对于理想的泵在稳态时的流量（单位时间内输出的油液容积） Q_p 为

$$Q_p = c_p \omega_p = 2\pi c_p n_F \quad (1-1)$$

或 $Q_p = c_p' n_p = c_p' \frac{\omega_p}{2\pi} \quad (1-1a)$

式中 c_p 表泵的排量, (毫升/弧度); ω_p 表泵的角速度, (弧度/秒); n_p 表泵的转速, (转/秒); c_p' 表泵的排量, (毫升/转)。

图1-1示容积式泵的稳态工作状况。由于实际上任何一个泵均不可能做得绝对地完善, 因此, 在压力油作用下, 沿相互运动

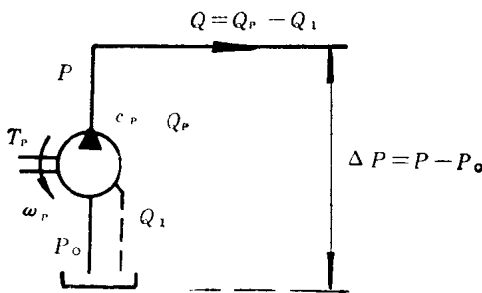


图 1-1 容积式泵的稳态工作状况

零件间的间隙常有油液漏损。所以泵的实际流量将低于按式 (1-1) 或 (1-1a) 计算得出的。因相互运动零件间的间隙很小, 故可认为其间渗漏的油液为层流运动。因此, 漏损流量即可按下式计算

$$Q_1 = \frac{K \Delta P}{\mu} = \lambda_p \Delta P \quad (1-2)$$

式中 Q_1 表漏损流量; ΔP 表漏损油道两端的压差 (一般均假定其等于油泵的排油压力); μ 表油液的动力粘度; K 表与泵有关的常数。

在一定温度下 $\frac{K}{\mu} = \lambda_p$ 为常数, 称为泵的漏损系数。

由于泵内的机械损失, 所以泵内油液所获得的功率小于施于

泵的轴功率。假若泵内油液的进出口压差为 ΔP ，泵轴所需转矩为 T_p ，角速度为 ω_p ，则油液（包括漏损流量 Q_1 ）通过泵后所获得的功率即为 $c_p \omega_p \Delta P$ 。而施加于泵的轴功率为 $T_p \omega_p$ 。于是泵的机械效率（也称转矩效率） η_{m_p} 为

$$\eta_{m_p} = \frac{c_p \Delta P}{T_p} \quad (1-3)$$

泵的实际流量（即不包括漏损流量 Q_1 ）所获得的功率与施于泵轴功率之比，称为泵的总效率 η_{o_p} 。且有

$$\eta_{o_p} = \frac{(Q_p - Q_1) \Delta P}{T_p \omega_p} \quad (1-4)$$

泵的实际流量与理论流量之比，称为泵的容积效率 η_{v_p} 。即

$$\eta_{v_p} = \frac{Q_p - Q_1}{Q_p} \quad (1-5)$$

将式(1-3)与式(1-5)相乘，得

$$\eta_{m_p} \eta_{v_p} = \frac{c_p (Q_p - Q_1) \Delta P}{T_p Q_p},$$

但因 $Q_p = c_p \omega_p$ ，所以

$$\eta_{m_p} \eta_{v_p} = \frac{(Q_p - Q_1) \Delta P}{T_p \omega_p} = \eta_{o_p} \quad (1-6)$$

即泵的总效率等于其机械效率与容积效率的乘积。注意，以上所述各种效率均为瞬时效率。亦即其仅为某一给定情况下的效率。

若使变量泵的输出流量 Q_p 随输出压力 P 的增高而降低，即构成压力补偿泵。意即利用流量的减少以弥补压力升高所需的功率。反之，也可认为是利用压力降低弥补流量的增大。结果可使荷载变化时造成的功率波动不致太大。显然，若能达到 $PQ_p = \text{常数}$ ，则外载荷或流量发生变化时，泵所需的驱动功率就可保持不变。这就是恒功率变量泵。因通常驱动泵的原动机（如电动机、柴油机等），其功率一般均不可变化，故恒功率变量泵对提高原动机的功率利用，具有很大的实用意义。

图1-2即示压力补偿泵的原理。当泵的输出压力 P 增加时，即推动变量机构的活塞 L ，于是使泵的输出流量减小。若 x_0 为变

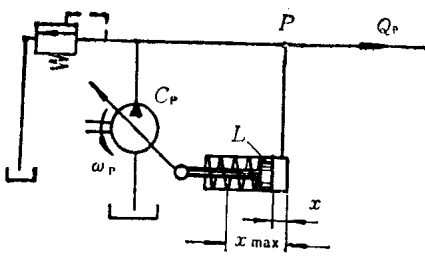


图 1-2 压力补偿泵工作原理

量活塞弹簧的预压缩量，其相应的压力为 P_c 。于是当变量机构活塞位移 $x=0$ 时，则 $P=P_c$ ，这时 $c_p=c_{p\max}$, $Q_p=Q_{p\max}=\eta_{v_p}c_{p\max}\omega_p$ ，当 $x=x_{\max}$ 时， $P=P_{\max}$ ，及 $c_p=0$, $Q_p=0$ 。

当变量机构活塞处于 $0 < x < x_{\max}$ 的位置时，则泵输出压力为 P 。因泵的输出流量与 $x_{\max} - x$ 成正比，故有

$$Q_p = c(x_{\max} - x),$$

式中 c 表比例常数，当 $x=0$ 时， $Q_p=P_{p\max}$ ，

所以

$$c = \frac{Q_{p\max}}{x_{\max}},$$

于是得

$$Q_p = Q_{p\max} \left(1 - \frac{x}{x_{\max}} \right) \quad (1-7)$$

图 1-3 示 Q_p 随 x 的变化关系。自 P_c 开始泵的出口压力 P 即与 x 成正比，即 $P - P_c = Kx$, $P_{\max} - P_c = Kx_{\max}$ ，代入 (1-7) 式，则得流量与压力的关系为

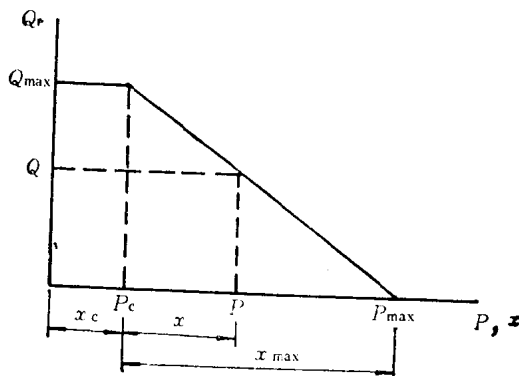


图 1-3 Q_p 与 P , x 的关系

$$Q_p = Q_{p_{\max}} \left(1 - \frac{P - P_c}{P_{\max} - P_c} \right) \quad (1-8)$$

或

$$\frac{Q_p}{Q_{p_{\max}}} = \frac{1 - P/P_{\max}}{1 - P_c/P_{\max}} \quad (1-8a)$$

于是得 $Q_p/Q_{p_{\max}}$ 与 P/P_{\max} 及 P_c/P_{\max} 的关系，如图1-4。

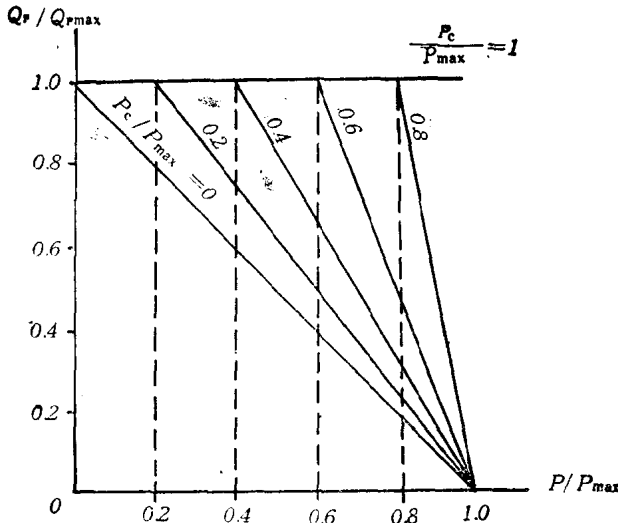


图 1-4 $Q_p/Q_{p_{\max}}$ 与 P/P_{\max} 及 P_c/P_{\max} 的关系

当 $P_c/P_{\max} = 1$ ，即 $P_c = P_{\max}$ 时，则变量机构不起作用，泵将始终以其最大流量供油。这时与定量泵无异。当 $P \leq P_c$ ，即 $P/P_{\max} \leq P_c/P_{\max}$ 时，泵亦将以最大流量供油。而在 $P_c/P_{\max} = 0$ ，即变量机构弹簧无预压缩时，泵的变量范围最大。

压力补偿式变量泵的输出功率 N_p 为

$$N_p = P Q_p = P Q_{p_{\max}} \left(1 - \frac{P - P_c}{P_{\max} - P_c} \right),$$

$$= P Q_{p_{\max}} \left(\frac{P_{\max} - P}{P_{\max} - P_c} \right) \quad (1-9)$$

令 $\frac{dN_p}{dP} = 0$, 则得

$$P = \frac{1}{2} P_{\max} \quad (1-10)$$

于是 $N_{p_{\max}} = \frac{P_{\max}^2 Q_{p_{\max}}}{4(P_{\max} - P_c)} \quad (1-11)$

式 (1-10) 及 (1-11) 说明, 当泵的输出压力 P 为其最大压力的 $\frac{1}{2}$ 时, 输出功率达到最大。又据 (1-8) 及 (1-9) 式有

$$\begin{aligned} \frac{N_p}{P_{\max} Q_{p_{\max}}} &= \frac{P}{P_{\max}} \cdot \frac{Q_p}{Q_{p_{\max}}} = \frac{P}{P_{\max}} \left(1 - \frac{P - P_c}{P_{\max} - P_c} \right) \\ &= \frac{P}{P_{\max}} \left(\frac{1 - P/P_{\max}}{1 - P_c/P_{\max}} \right) \end{aligned} \quad (1-12)$$

根据以上分析知当 $P_c/P_{\max} = 1$, 即 $P_c = P_{\max}$ 时, 泵的变量机构失效, 成为定量泵, 这时其输出功率为

$$N_p = P Q_{\max},$$

于是有

$$\frac{N_p}{P_{\max} Q_{p_{\max}}} = \frac{P}{P_{\max}} \quad (1-12a)$$

若以 $N_p/(P_{\max} Q_{p_{\max}})$ 为纵座标, P/P_{\max} 为横座标, 同时考虑压力补偿式变量泵的工作特点必须是 $P_c < P < P_{\max}$, 于是由 (1-12) 及 (1-12a) 式即可绘出功率与压力变化关系的无因次曲线如图1-5。当 $P_c > \frac{1}{2} P_{\max}$ 及 $P > \frac{1}{2} P_{\max}$ 时,

$N_p / (P_{\max} Q_{p_{\max}})$ 将不出现峰值, 这时泵的最大 (不是峰值) 输出功率为 $P_c Q_{\max}$ 。

从以上分析可知, 对于变量活塞仅有一节弹簧时, 压力补偿泵的流量与压力呈直线关系变化。而恒功率变量泵则要求 $PQ = \text{常数}$, 即流量与压力按等轴双曲线关系变化。所以均通常在变量活塞上采用若干节弹簧, 使 P 值依次改变。于是即可用一系列不同斜率的直线近似地代替双曲线, 使泵基本上达到恒功率的特

性。实用上一般采用2~3节弹簧即可。图1-6即示用两节弹簧调节的恒功率变量泵特性。直线AB为仅有一节弹簧工作时的变量效果，BC为两节弹簧同时工作的变量效果。

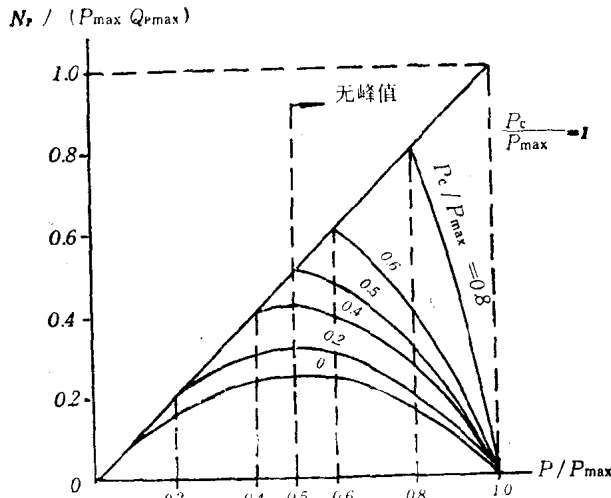


图 1-5 $N_p / (P_{pmax} Q_{pmax})$ 与 P/P_{pmax} 及 P_c/P_{pmax} 的关系

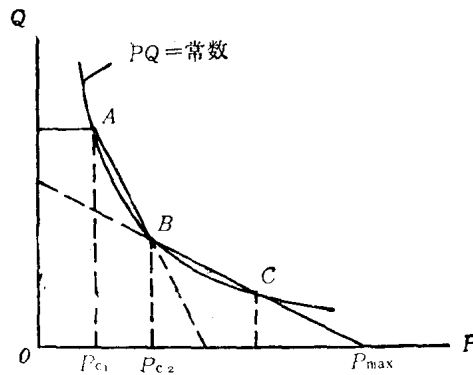


图 1-6 恒功率变量泵的 P 、 Q 关系及弹簧近似调节

1.2 液压马达

液压马达（油马达）是带动荷载作连续回转运动的执行元件。其输出功率由转速及油流通过马达后的压降决定。马达的转速可根据系统回路的设计予以控制，而压力则按荷载的情况确定。这些将在泵控系统一章中详细讨论。液压传动中所采用的液压马达均为容积式的。与液压泵一样，液压马达也有定量及变量之分。稳态时液压马达的转速仅与通过的流量有关。因此，对于理想的液压马达有

$$Q_m = c_m \omega_m = 2\pi c_m n_m \quad (1-13)$$

或 $Q_m = c'_m n_m = c'_m \frac{\omega_m}{2\pi} \quad (1-13a)$

式中 Q_m 表通过马达的流量； c_m 表马达的排量，(毫升/弧度)； c'_m 表马达的排量，(毫升/转)； ω_m 表马达的角速度，(弧度/秒)； n_m 表马达的转数，(转/秒)。

液压马达的漏损与液压泵的计算方法相似，即

$$Q_1 = \frac{K' \Delta P}{\mu} = \lambda_m \Delta P \quad (1-14)$$

式中 Q_1 表液压马达的漏损流量； ΔP 表油流通过马达后的压降； μ 表油液的动力粘度； K' 表与马达有关的常数； λ_m 表液压马达的漏损系数， $\lambda_m = \frac{K'}{\mu}$ 。

严格说来，液压马达的漏损由两部分组成，即由于压差 ΔP (马达进口压力与出口压力的差值) 所引起的漏损，和由于马达进口压力 P 所引起的漏损。但在一般情况下都只按 ΔP 一项来考虑其漏损。因此，

$$Q_m = c_m \omega_m + Q_1 = c_m \omega_m + \lambda_m \Delta P \quad (1-15)$$

所以液压马达的容积效率 η_{vm} 为：

$$\eta_{vm} = \frac{c_m \omega_m}{Q_m} = \frac{Q_m - Q_1}{Q_m} \quad (1-16)$$